

УСПЕХИ ФИЗИЧЕСКИХ НАУК**МИКРОЧАСТИЦА И ЕЁ ДИФФРАКЦИОННОЕ ИЗОБРАЖЕНИЕ****Д. И. Блохинцев**

Структуру микрочастиц, молекул, атомов и атомных ядер изучают с помощью рассеяния этими частицами различных волн: электромагнитных, электронных, нейтронных и др.

Распределение интенсивностей рассеянных волн, наблюдаемое на удалённом экране, образует диффракционное изображение частицы.

При этом именно упругое рассеяние, происходящее без обмена энергией между волнами и рассеивающей частицей, есть то, при котором получается «снимок» с объекта в неизменном исходном состоянии.

Такой снимок, вообще говоря, может быть получен только с большого коллектива независимых частиц, так как одна и та же частица при повторении рассеяний будет менять своё состояние.

Распределение интенсивностей рассеянных волн на экране непосредственно определяется дифференциальным поперечником  $Q(\theta) d\Omega$  для упругого рассеяния на угол  $\theta$  в телесный угол  $d\Omega$ . Этот поперечник выражается через амплитуду  $A$  рассеянной волны  $u = A \frac{e^{ikr}}{r}$  ( $r$  — расстояние от частицы до экрана,  $k$  — волновое число рассеиваемых волн) известным соотношением:  $Q(\theta) = |A|^2$  \*).

Если структура рассеивающей частицы и силы, действующие между ней и частицами, принадлежащими диффрагирующей волне, известны, то, пользуясь квантовой механикой, можно вычислить амплитуду рассеянной волны  $A$ , а вместе с тем найти  $Q$  и, стало быть, распределение интенсивностей на экране рассеянных волн  $I \cong Q$ .

Нас, однако, будет интересовать другой вопрос: что можно сказать о структуре объекта, зная эффективный поперечник или, что то же, распределение интенсивностей  $I$  на экране?

Определённости ради рассмотрим случай слабого рассеяния, когда все соотношения особенно просты.

\*) См., например, Д. Блохинцев, Введение в квантовую механику, § 74—75, или Мотт и Мэсси, Теория атомных столкновений, гл. VII.

В этом случае уравнение для рассеянной волны  $u$  гласит («борновское приближение»):

$$\nabla^2 u + k^2 u = -4\pi D(\mathbf{x}) \psi_0(\mathbf{x}), \quad (1)$$

где функция  $D(\mathbf{x})$  пропорциональна разности  $(n^2 - 1)$ ,  $n$  — показатель преломления среды во вне и внутри рассеивающей частицы, а  $\psi_0(\mathbf{x}) = e^{i\mathbf{k}_0 \cdot \mathbf{x}}$  есть первичная, падающая волна, которую мы считаем плоской, распространяющейся в направлении  $\mathbf{k}_0$ .

Из этого уравнения следует\*), что при  $r \rightarrow \infty$  амплитуда рассеянной волны  $A$  есть функция вектора  $\mathbf{q} = \mathbf{k} - \mathbf{k}_0$ , где  $\mathbf{k}$  есть волновой вектор первичной частицы, рассеянной в угол  $\theta$  (для упругого рассеяния  $|\mathbf{k}| = |\mathbf{k}_0| = k$ ) и равна:

$$A(\mathbf{q}) = \int D(\mathbf{x}) e^{i\mathbf{q} \cdot \mathbf{x}} dx^{**}. \quad (2)$$

Функция  $D(\mathbf{x})$ , определяющая распределение показателя преломления внутри рассеивающей частицы, и будет рассматриваться нами как величина, определяющая её структуру. Таким образом, условно можно сказать, что  $D(\mathbf{x})$  представляет предмет, а  $A(\mathbf{q})$  его диффракционные изображения на экране. Из (2), пользуясь теоремой Фурье, находим:

$$D(\mathbf{x}) = \frac{1}{(2\pi)^3} \int A(\mathbf{q}) e^{i\mathbf{q} \cdot \mathbf{x}} dq. \quad (3)$$

Если бы из опыта можно было определить  $A(\mathbf{q})$ , то формула (3) давала бы однозначный ответ на вопрос о структуре предмета.

На самом деле при обращении интеграла возникают два ограничения, относящиеся к эмпирическому знанию амплитуды рассеянных волн  $A(\mathbf{q})$ .

Первое из них связано с тем, что энергия частиц, принадлежащих первичной волне, ограничена. Если импульс этих частиц равен  $p$  (длина волны  $\lambda = \frac{2\pi h}{p}$ ), то максимальное значение вектора  $q = 2k \sin \frac{\theta}{2}$  ограничено и равно  $\frac{4\pi}{\lambda}$ .

В силу того, что амплитуда  $A$  известна при этих условиях лишь в области  $q = \sqrt{q_x^2 + q_y^2 + q_z^2} \leq \frac{4\pi}{\lambda}$ , мы вместо истинной структуры можем вычислить лишь

$$\tilde{D}(\mathbf{x}) = \frac{1}{(2\pi)^3} \int_{q \leq \frac{4\pi}{\lambda}} A(\mathbf{q}) e^{i\mathbf{q} \cdot \mathbf{x}} dq. \quad (3')$$

Тонкая структура будет сглажена, так как в разложении (3') отсут-

\*) См. цитированные выше книги.

\*\*)  $dx = dx dy dz$ ,  $dq = dq_x dq_y dq_z$ .

ствуют высшие гармоники с  $q > \frac{4\pi}{\lambda}$ . Поэтому все детали структуры рассеивающей частицы, претерпевающие существенное изменение на протяжении  $\Delta x < \frac{\lambda}{2}$ , не будут учтены в  $\tilde{D}(\mathbf{x})$  (при  $\Delta x \ll \frac{\lambda}{2}$  изменение фазы показательной функции в интеграле (3') будет  $\ll 2\pi$ ).

Обратимся теперь ко второму ограничению. Суть его заключается в том, что из опыта вообще не определяется сама амплитуда  $A(\mathbf{q})$ , а только дифференциальный поперечник  $Q(\mathbf{q})$ . Если представить амплитуду рассеянной волны в виде:

$$A(\mathbf{q}) = a(\mathbf{q}) e^{i\alpha(\mathbf{q})}, \quad (4)$$

где  $\alpha(\mathbf{q})$  фаза,  $a(\mathbf{q}) = \sqrt{Q(\mathbf{q})}$ , то наблюдаемой величиной является  $a(\mathbf{q})$ . Напротив, фаза  $\alpha(\mathbf{q})$  остаётся совершенно произвольной, поскольку она выпадает из выражения для поперечника.

Посмотрим теперь, какие следствия вытекают из этого обстоятельства.

Из действительности величины  $D(\mathbf{x})$  вытекает:  $A(\mathbf{q}) = A(-\mathbf{q})$ . Нетрудно видеть, что из этого условия следует  $a(\mathbf{q}) = a(-\mathbf{q})$ ,  $\alpha(\mathbf{q}) = -\alpha(-\mathbf{q})$ . Поэтому интеграл (3) можно представить в виде:

$$D(\mathbf{x}) = D_s(\mathbf{x}) + D_a(\mathbf{x}), \quad (5)$$

где

$$D_s(\mathbf{x}) = \frac{1}{(2\pi)^3} \int a(\mathbf{q}) \cos \alpha(\mathbf{q}) \cos(\mathbf{q}\mathbf{x}) d\mathbf{q}, \quad (6)$$

$$D_a(\mathbf{x}) = \frac{1}{(2\pi)^3} \int a(\mathbf{q}) \sin \alpha(\mathbf{q}) \sin(\mathbf{q}\mathbf{x}) d\mathbf{q}. \quad (6')$$

$D_s(\mathbf{x})$  представляет собою симметричную относительно преобразования инверсии (замена  $\mathbf{x}$  на  $-\mathbf{x}$ ) часть структуры, а  $D_a(\mathbf{x})$  — антисимметричную.

Из (6') видно, что  $D_a(\mathbf{x}) = 0$  только в том случае, когда  $\alpha(\mathbf{q}) = 0$ , т. е. если амплитуда рассеянной волны  $A(\mathbf{q})$  действительна. Полагая  $\alpha(\mathbf{q}) = 0$ , мы получаем единственное и вполне определённое значение  $D_s(\mathbf{x})$ , соответствующее найденному из опыта эффективному сечению  $Q(\mathbf{q})$ . Поэтому мы можем высказать следующее положение: данной диффракционной картине соответствует единственный симметричный относительно группы инверсии предмет и бесчисленное множество несимметричных.

Приведём теперь пример, иллюстрирующий это положение. Пусть мы имеем частицу со структурой:

$$D_a(\mathbf{x}) = \frac{\epsilon}{\pi^{3/2} \Delta^3} \left[ e^{-\frac{(x-l)^2 + \rho^2}{\Delta^2}} - e^{-\frac{(x+l)^2 + \rho^2}{\Delta^2}} \right]. \quad (7)$$

Здесь  $\rho^2 = y^2 + z^2$ ;  $x = \pm l$ ,  $\rho = 0$  определяет положение максимальных отступлений  $D_a(\mathbf{x})$  от нуля (при малых  $\Delta$ ),  $\frac{\epsilon}{\pi^{3/2} \Delta^3}$  даёт вели-

чину этих отступлений. На рис. 1 изображён график  $D_a(\mathbf{x})$  в плоскости  $\rho=0$ .  $D_a(\mathbf{x})$ , как видно, представляет несимметричный дипольобразный объект. Вычисляя  $A(\mathbf{q})$  для этого случая, для чего подставляем (7) в (2), без труда находим:

$$A(\mathbf{q}) = 2i\varepsilon e^{-\frac{q^2\Delta^2}{4}} \sin(q_x l), \quad (8)$$

т. е.

$$a(\mathbf{q}) = 2\varepsilon e^{-\frac{q^2\Delta^2}{4}} |\sin(q_x l)|, \quad \alpha(\mathbf{q}) = (-1)^m \frac{\pi}{2},$$

когда  $m\pi < q_x l < (m+1)\pi$ . Фаза  $\alpha(\mathbf{q})$  изменяется, следовательно, скачкообразно, в пределах от  $-\frac{\pi}{2}$  до  $+\frac{\pi}{2}$ .

На рис. 2 изображена интенсивность рассеяния  $I(\theta)$  в функции угла рассеяния  $\theta$ , для структуры (7) (первичный пучок при этом предположен параллельным оси диполя  $ox$ ). Та же самая картина рассеяния, и притом для любой ориентации первичного пучка и объекта, будет получаться для симметричного объекта с  $A(\mathbf{q}) = +\sqrt{Q(\mathbf{q})}$  (т. е. при  $\alpha(\mathbf{q}) = 0$ ).

Структура этого симметричного объекта, дающего ту же дифракционную картину, что и истинный, несимметричный объект, определяется формулой:

$$D_s(\mathbf{x}) = \frac{2\varepsilon}{(2\pi)^3} \int e^{-\frac{q^2\Delta^2}{4}} |\sin(q_x l)| \times \\ \times e^{-i\mathbf{q}\mathbf{x}} d\mathbf{q}. \quad (7')$$

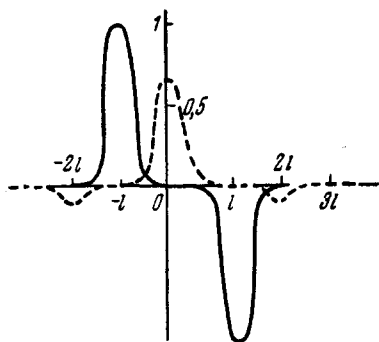


Рис. 1.

Для вычисления этого интеграла положим

$$|\sin(q_x l)| = \sin(q_x l) \frac{2}{\pi} \sum_{s=0}^{\infty} \frac{1}{2s+1} \sin[(2s+1)q_x l] \quad (9)$$

и, произведя интегрирование, найдём:

$$D_s(\mathbf{x}) = \frac{\varepsilon}{\pi^{3/2} \Delta^3} \sum_{s=0}^{\infty} e^{-\frac{\rho^2}{\Delta^2}} \left\{ e^{-\frac{(x-2ls)^2}{\Delta^2}} + e^{-\frac{(x+2ls)^2}{\Delta^2}} - \right. \\ \left. - e^{-\frac{(x-2sl-2l)^2}{\Delta^2}} - e^{-\frac{(x+2sl+2l)^2}{\Delta^2}} \right\}. \quad (10)$$

Распределение  $D_s(\mathbf{x})$  для этой структуры показано на рис. 1 пунктирной кривой.

Приведём другой пример. Пусть отступления от симметрии невелики, так что фаза  $\alpha(\mathbf{q})$  мала в существенной области значений  $q$ . Разложим эту фазу в ряд по степеням  $q_1 = q_x, q_2 = q_y, q_3 = q_z$ :

$$\alpha = \sum_{i, k, l} \alpha^{ikl} q_i q_k q_l + \dots \quad (11)$$

При этом мы начинаем разложение с третьего члена, так как первый может быть уничтожен выбором начала координат, а четные

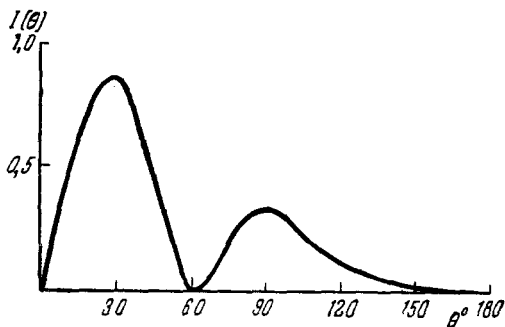


Рис. 2.

степени в  $\alpha$  вообще отсутствуют. Полагая  $A(\mathbf{q}) = \sqrt{Q(\mathbf{q})} \{1 + i\alpha(\mathbf{q}) + \dots\}$ , найдём (по формуле (2))

$$D(\mathbf{x}) = D_s(\mathbf{x}) - \sum_{i, k, l} \alpha^{ikl} \frac{\partial^3 D_s(\mathbf{x})}{\partial x_i \partial x_k \partial x_l}. \quad (12)$$

Все эти структуры, при малых  $\alpha^{ikl}$ , будут давать одну и ту же диффракционную картину.

Таким образом мы видим, что, не прибегая к теоретическим представлениям о структуре объекта, невозможно по наблюдению только его диффракционного изображения сделать однозначные заключения об его структуре.

Это обстоятельство может оказаться также существенным при изучении строения малых частиц ультрамикроскопическими методами.